

DE LA RECHERCHE À L'INDUSTRIE



[www.cea.fr](http://www.cea.fr)

## Projet CEDAL

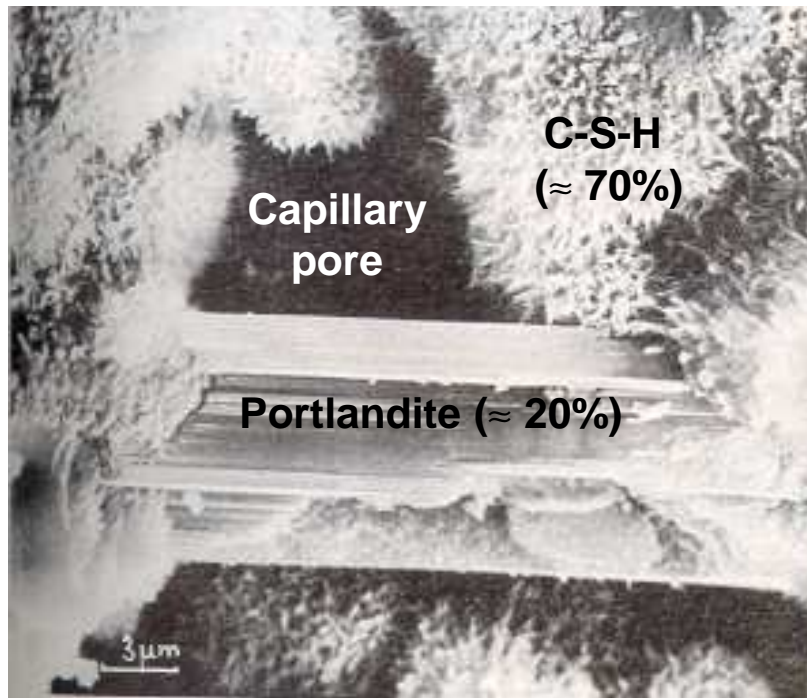
Développement d'une matrice à base de ciment phospho-magnésien pour le conditionnement de l'aluminium métallique

| David LAMBERTIN, Céline CAU DIT COUMES, Hugo LAHALLE, Pascal ANTONUCCI : CEA MARCOULE/DEN/DTCD/SPDE

Laboratoire de Physico-chimie des Matériaux Cimentaires

| Sylvie DELPECH, Céline CANNES, Quang Thuan TRAN : IPN Orsay

- Portland cement paste = porous, hydrates and alkaline medium



+ Hydrated aluminates (≈10%)

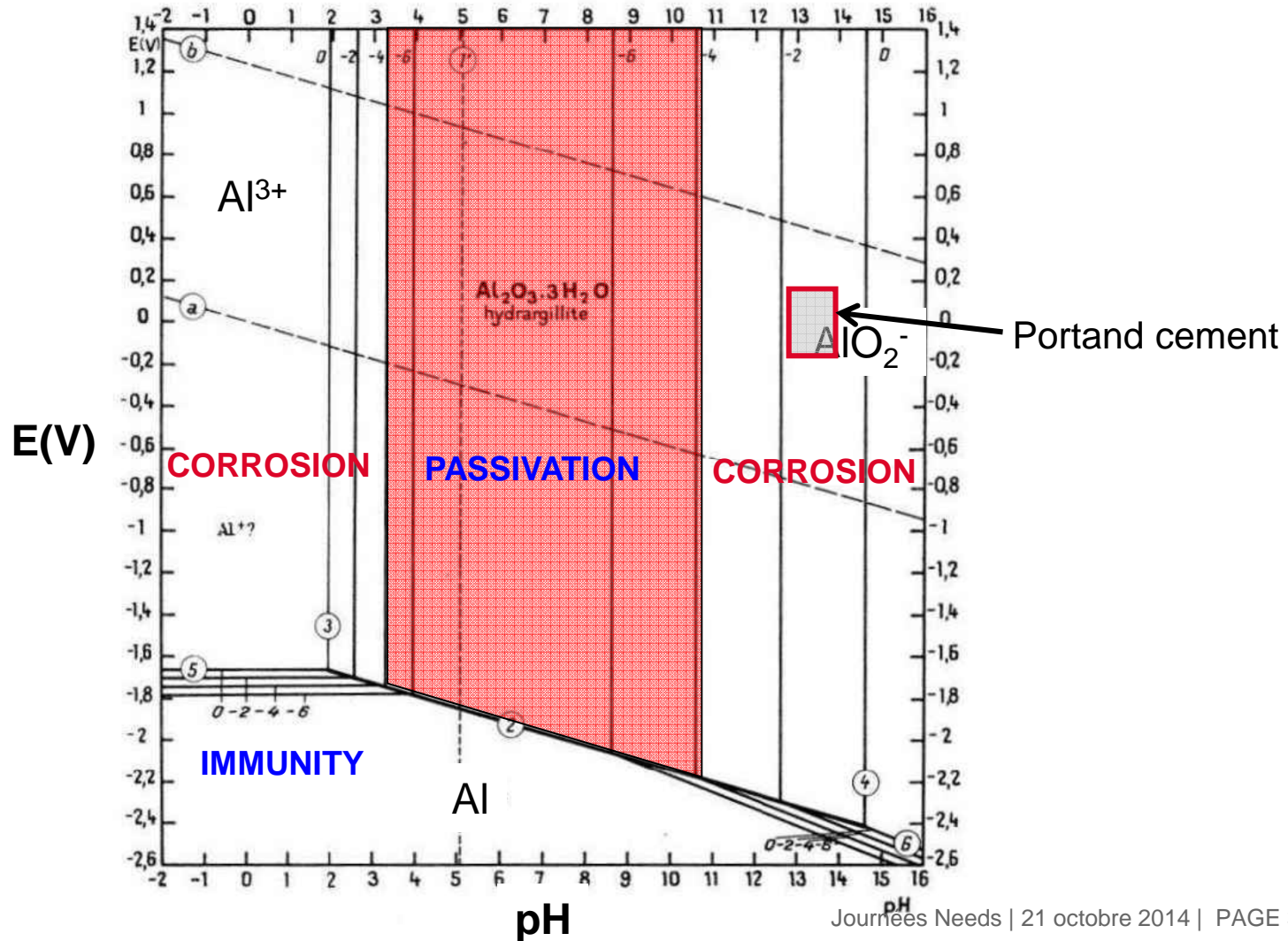
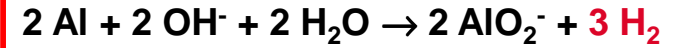
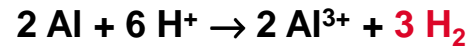
### Alkaline pore water

Concentrations in mg/kg of extracted solution

SiO <sub>2</sub>	SO <sub>3</sub>	Na <sub>2</sub> O	K <sub>2</sub> O	pH
22	844	4430	26100	13.6

OPC paste (clinker 95.5% - gypsum 4.5%) - W/C 0.5 - curing at 20°C in air-tight bag for 13 months (*Longuet, 1973*)

# 1. Introduction: redox properties of aluminium



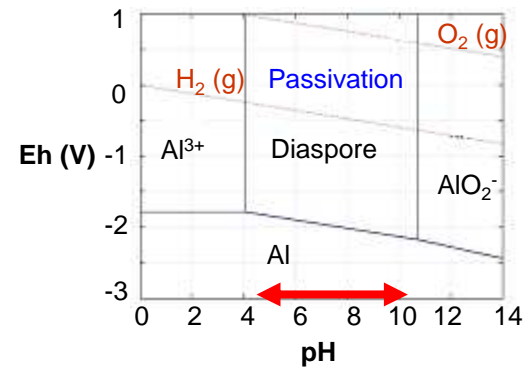
# 1. Introduction: ANDRA specifications

- Specifications for low- and intermediate-level and short lived radioactive waste (CSFMA waste disposal facility)



	Maximum surface area of Al per 330L-canister
Al directly embedded in cement	0.1 m <sup>2</sup>
Al in a canister to be compacted	0.5 m <sup>2</sup>
Al isolated from cement by a material like vinyl	1 m <sup>2</sup>

## ■ 2 complementary approaches

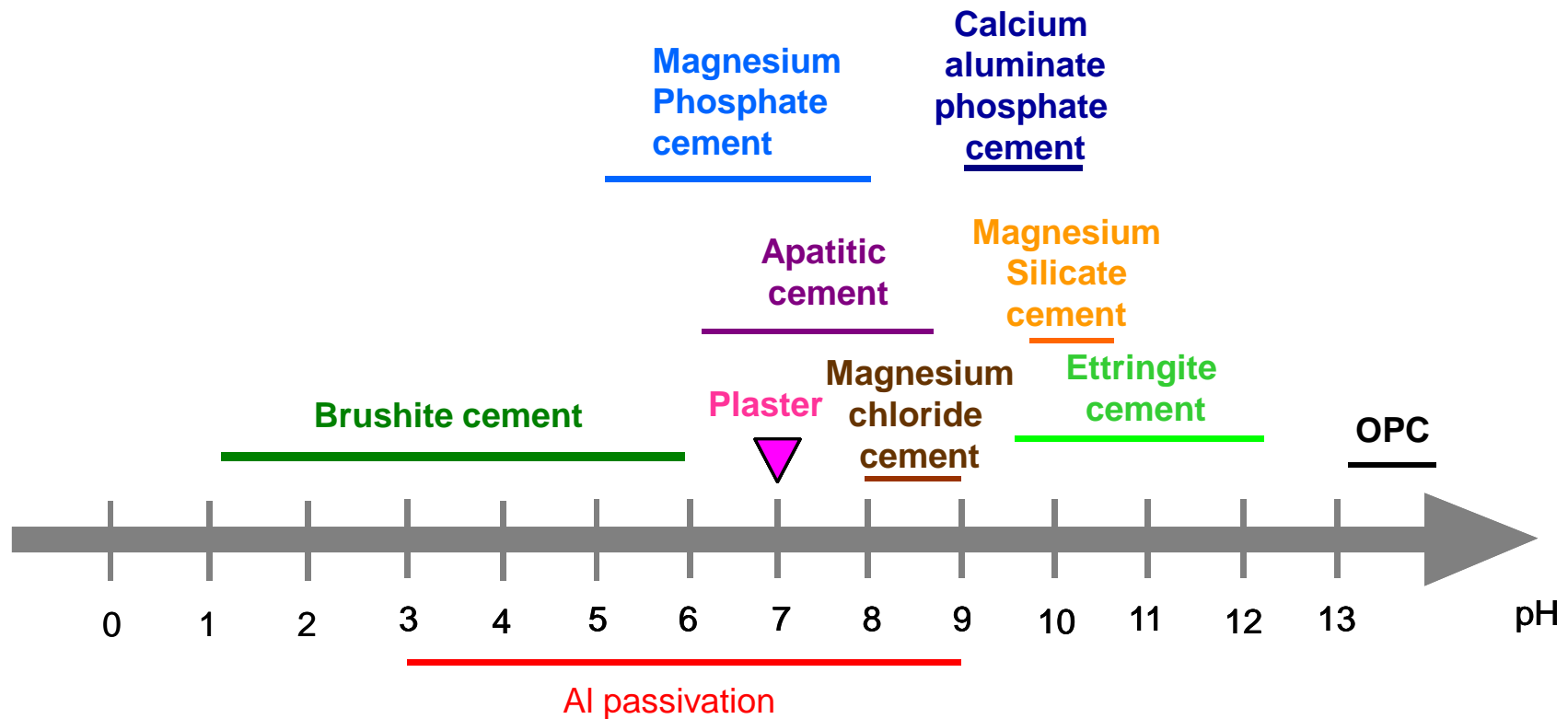


*Aluminium  
( $1E-4$  mol/L)*

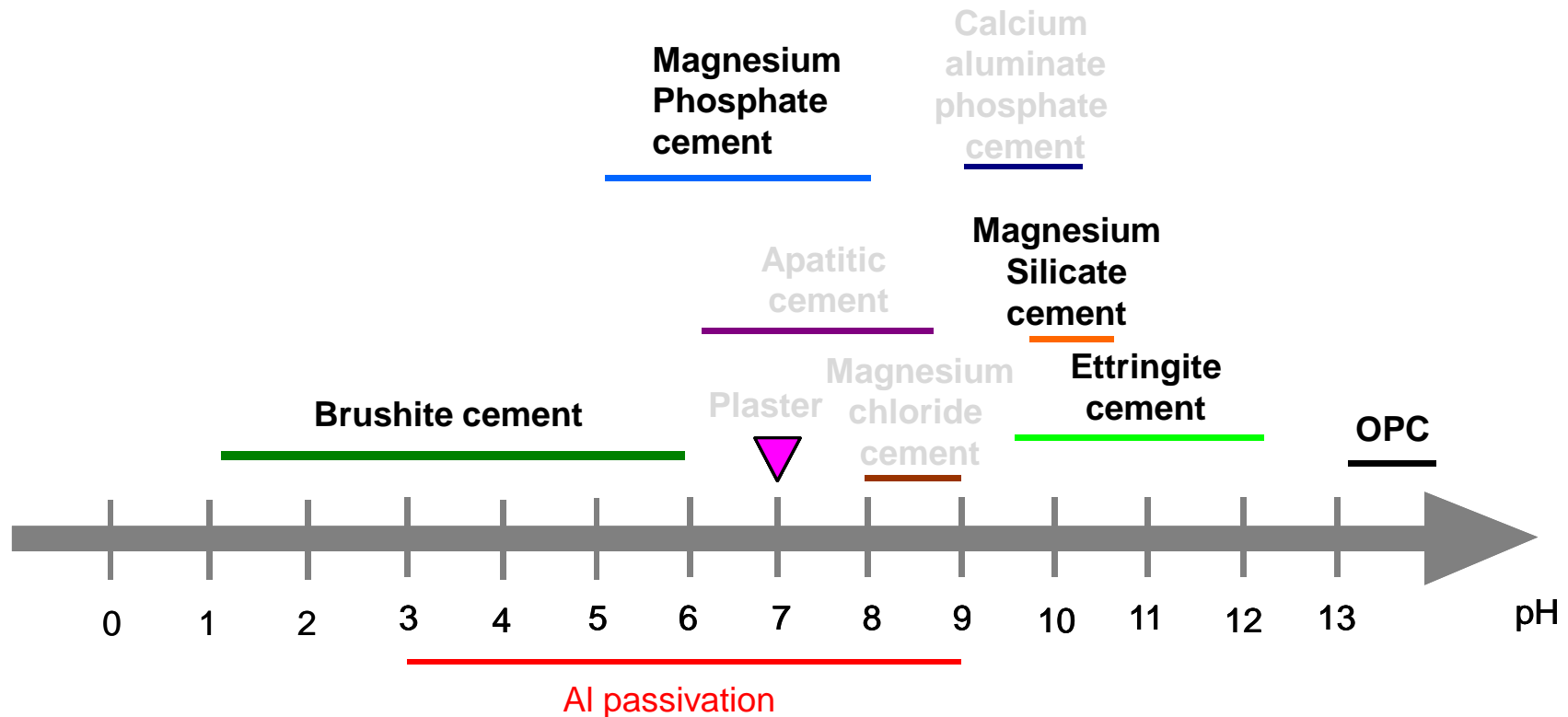
- ❶ Use of alternative cements, yielding pore solutions with a pH close to neutrality
- ❷ Addition of corrosion inhibitors

- ① Literature survey : search for alternative binders to calcium silicate cements**
- ② Experimental screening of binders**
- ③ Factors controlling the cement reactivity**
- ④ Processes responsible for setting and hardening**
- ⑤ Electrochemical behavior of metallic aluminum in a magnesium phosphate binder**

### ■ Comparison of pore solution pH generated by different cement systems



### ■ Selection of binders for an experimental study



- Experimental study to measure under identical conditions the hydrogen release due to corrosion of an aluminum rod embedded in the selected cement pastes

#### ■ Simulated waste

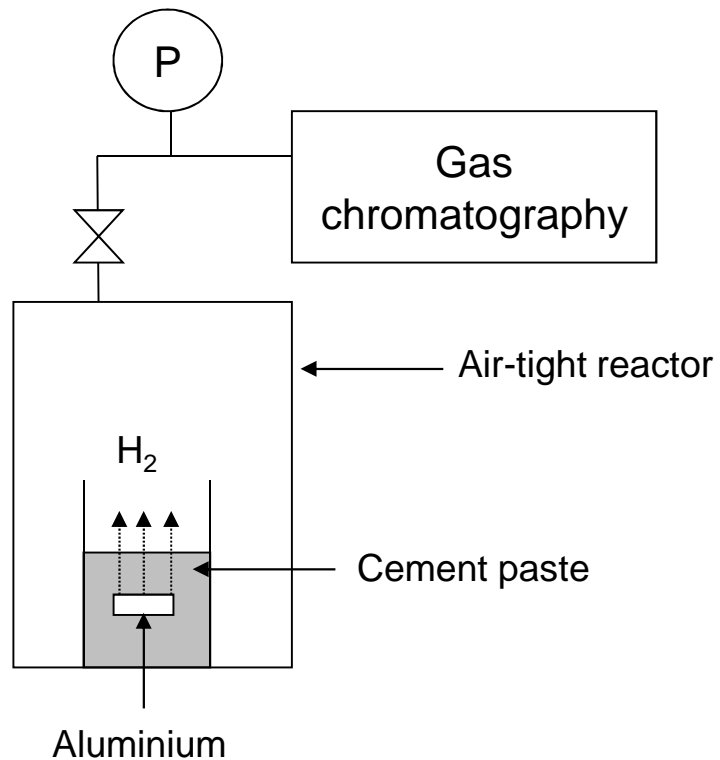
Aluminum rod (99.99% Al) ( $\phi = 1$  cm,  $h = 3$  cm)

Depassivated by immersion in  $H_2SO_4$  (20%) and rinsed with demineralized water just before the experiment

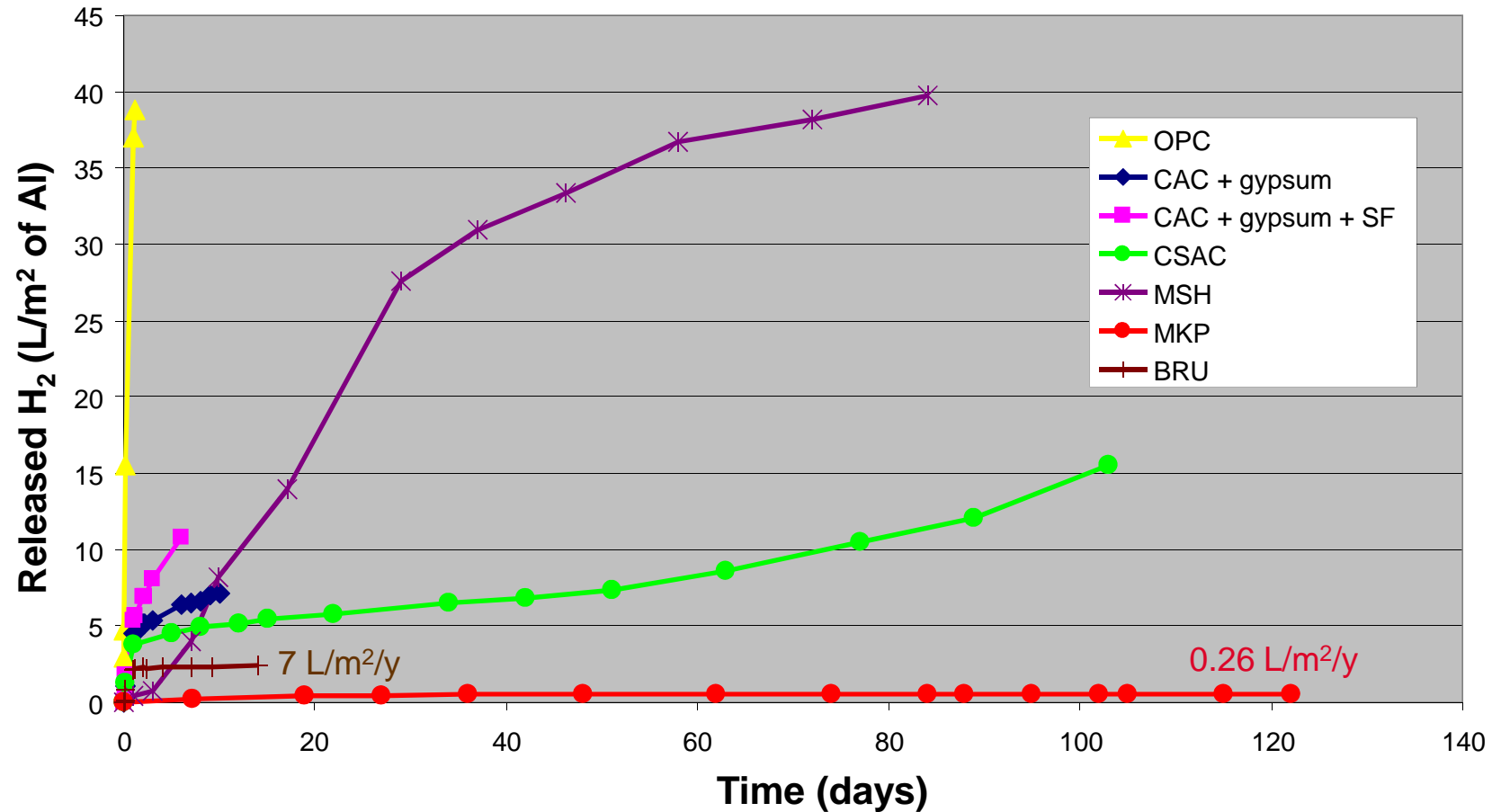
#### ■ Investigated binders

Binder	Reference and producer	W/C ratio (g/g)	Reference
Portland cement	CEM I 52.5 PM ES CP2 (Lafarge Le Teil)	0.4	OPC
Calcium aluminate cement + gypsum (67 :33 g/g)	Fondu (Kerneos)	0.48	CAC + gypsum
Calcium aluminate cement + gypsum + silica fume(60 :30:10 g/g)	Fondu (Kerneos) SF S95DM (Condensil)	0.60	CAC + gypsum + SF
Calcium sulfoaluminate cement (75% clinker, 25% gypsum)	KTS 100 (Belitex)	0.55	CSAC
Magnesium silicate binder (40% MgO, 10% MgCO <sub>3</sub> , 50% SiO <sub>2</sub> )	MgO, MgCO <sub>3</sub> (VWR) SF S95DM (Condensil)	0.35	MSH
Magnesium phosphate cement (MgO: KH <sub>2</sub> PO <sub>4</sub> 1:1 mol/mol)	MgO MagChem 10 CR (MAF Magnesite BV) KH <sub>2</sub> PO <sub>4</sub> (VWR)	0.51	MKP
Brushite cement (wollastonite + phosphoric acid solution)	FOTIMINE (Sulitec)	0.80	BRU

#### ■ Experimental device for H<sub>2</sub> measurement



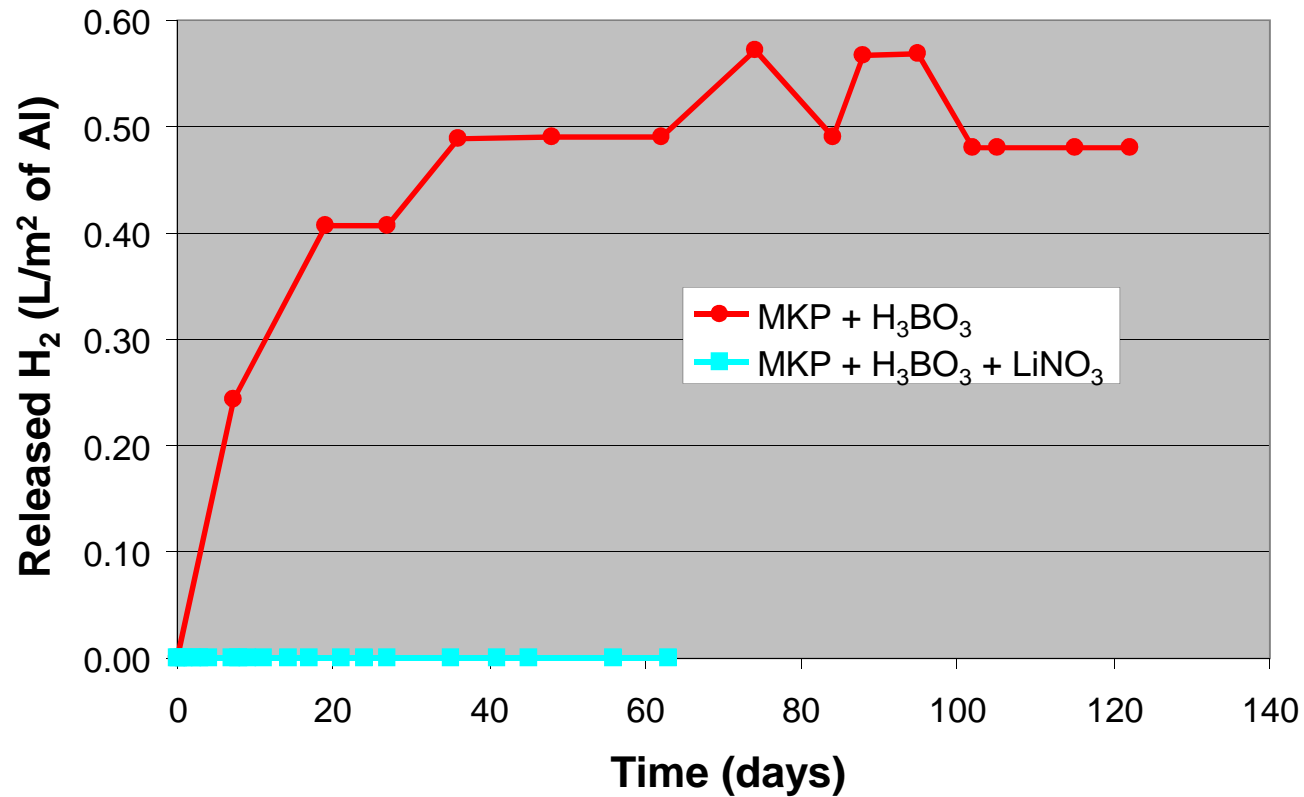
#### H<sub>2</sub> production



**Most promising binder: magnesium phosphate binder**



#### ■ H<sub>2</sub> production



With LiNO<sub>3</sub>: released H<sub>2</sub> < detection limit of the analytical method  
 Extrapolation over 1 year : H<sub>2</sub> < 2.28x10<sup>-4</sup> L/(m<sup>2</sup>.year)

Formation of a protective insoluble layer of LiH(AlO<sub>2</sub>)<sub>2</sub>.5H<sub>2</sub>O at the surface of the metal (*Matsuo et al., 1995*)

## 3. Experimental screening of binders

### ■ Conclusion

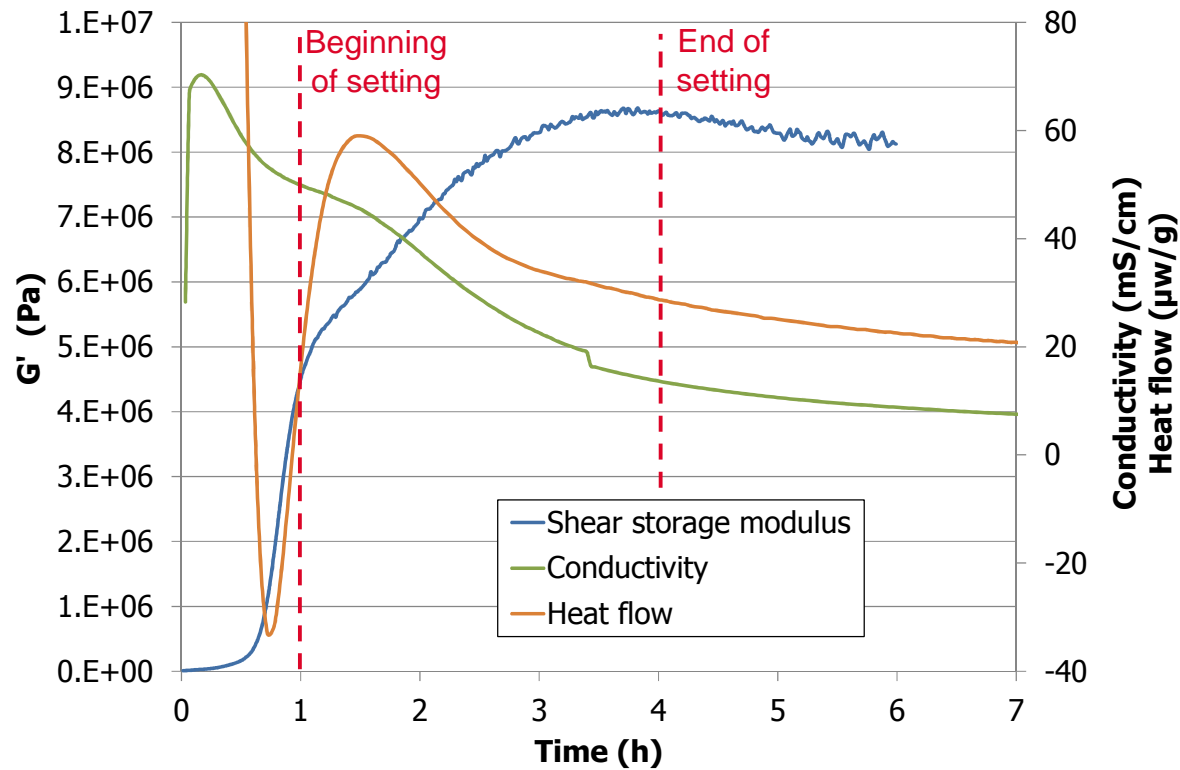
Selection of the **magnesium-phosphate cement**  
for the next step of the project

### ■ Critical parameters for a formulation

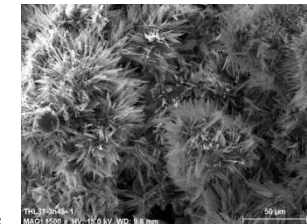
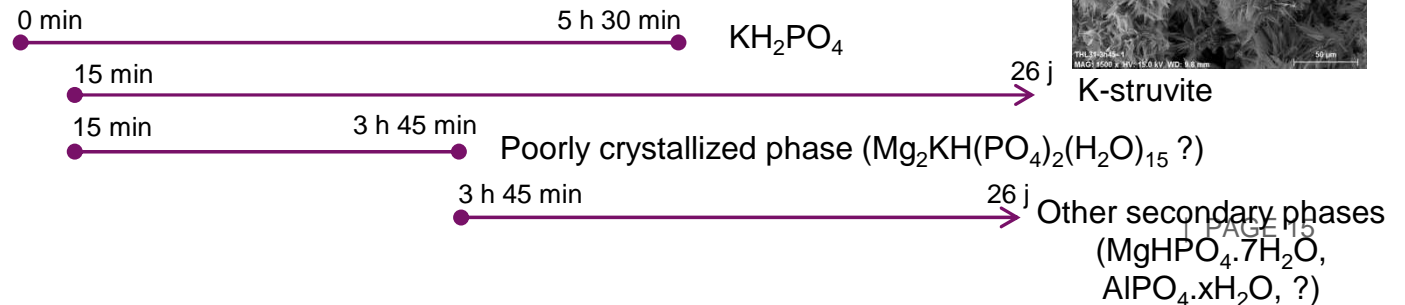
- ➔ MgO characteristics (particle size, specific surface area)
  - ➔ Hardburnt ( $S < 1 \text{ m}^2/\text{g}$ )
- ➔ MgO /  $\text{KH}_2\text{PO}_4$  ratio
  - ➔ 1
- ➔ Type and content of filler
  - ➔ Low CaO fly ash
- ➔ Type and content of sand
  - ➔ Siliceous sand
- ➔ Use of admixtures
  - ➔  $\text{H}_3\text{BO}_3$ ,  $\text{LiNO}_3$

# 4. Processes responsible for the setting and hardening

## Mechanisms of setting and hardening System {MgO + KH<sub>2</sub>PO<sub>4</sub> + Fly ash}



Thèse de Hugo  
Lahalle en cours



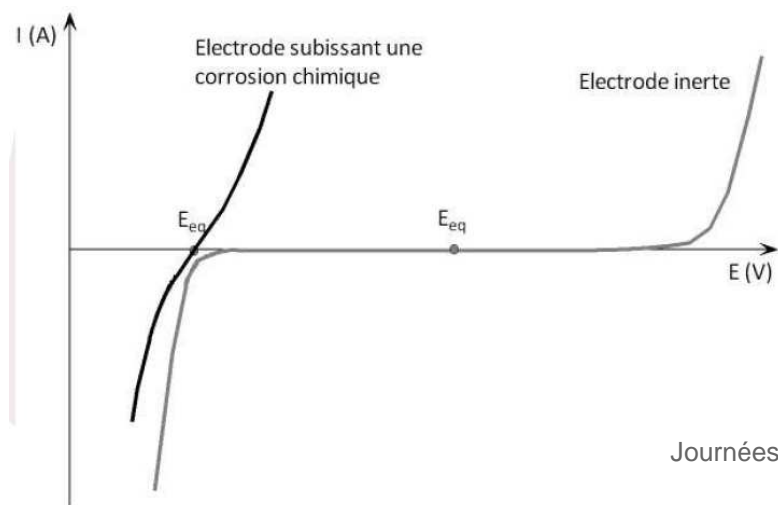
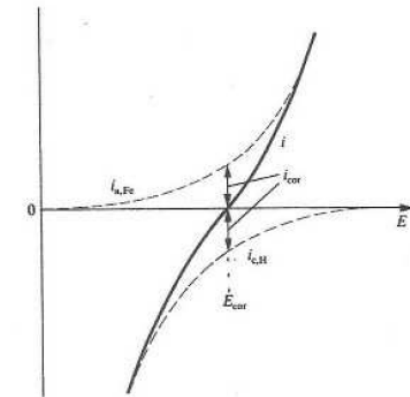
## ■ L'électrochimie pour l'étude de la corrosion in situ

### Corrosion chimique :

Réaction chimique entre le métal (Al) et le milieu ( $H_2O$ )

Le courant de corrosion permet de déterminer la quantité d'aluminium oxydé et donc la quantité d'hydrogène produit.

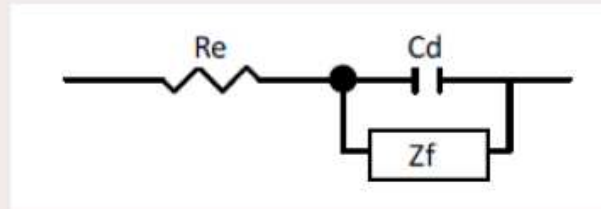
Qualitativement, la « pente » de la courbe  $i=f(E)$  est fonction du courant de corrosion et donc de la vitesse de corrosion.



### ■ La spectroscopie d'impédance pour l'étude de la corrosion chimique in situ

L'interface solution/matériau se comporte comme un circuit électrique composé d'éléments: R, C, L,...

$$I = I_c + I_f \text{ (courant capacitif + courant faradique)}$$



En mesurant l'impédance à  $E = E_{eq}$  (conditions non destructrices et pas de corrosion forcée)

- Electrode en zone d'immunité (inerte) ou électrode recouverte d'une couche protectrice (empêchant le contact entre solution et matériau:  $Z_f \rightarrow \infty$ : circuit électrique  $Re // Cd$ )
- Electrode qui subit une corrosion chimique:  $Z_f \neq \infty$ : l'impédance à une allure classique de schéma réactionnel électrochimique (résistance de transfert de charge, boucles capacitives, impédance de diffusion...)

## ■ Déroulement de l'étude

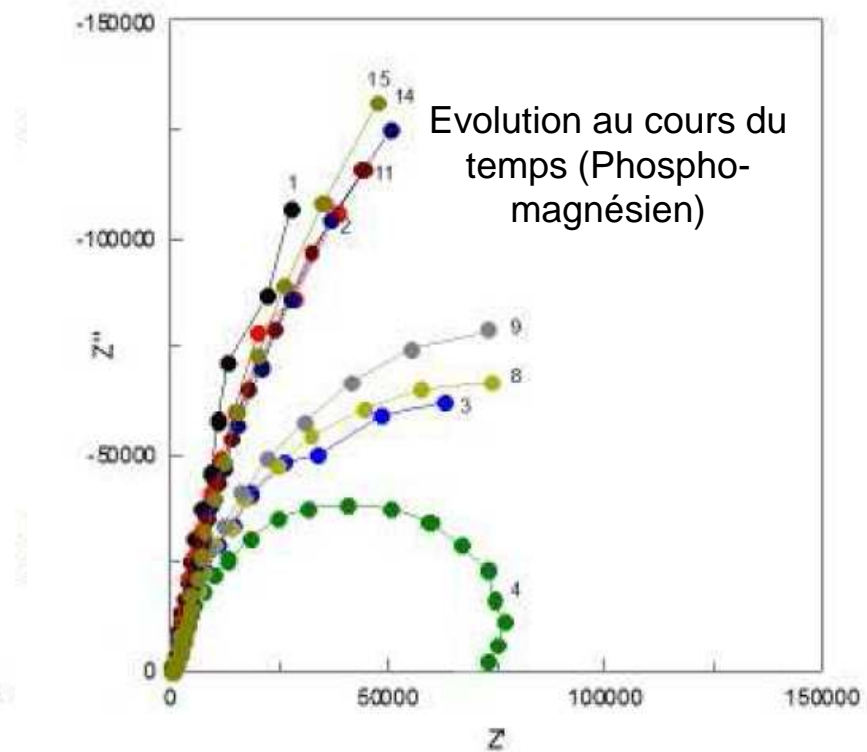
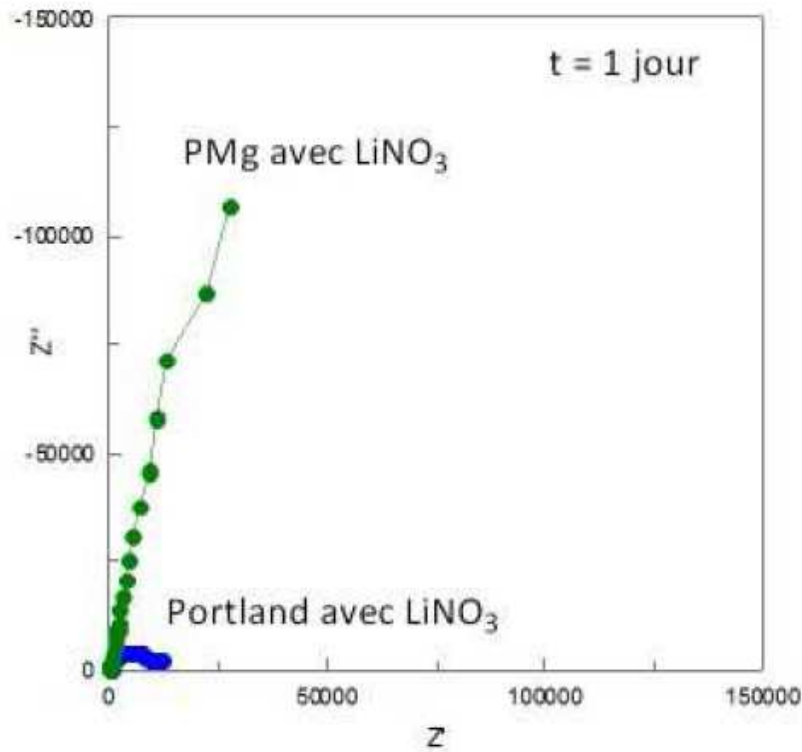
### Influence de l'inhibiteur de corrosion $\text{LiNO}_3$

- en milieu aqueux basique (pH=13)
- dans les ciments Portland et Phosphomagnésien

### Dispositifs expérimentaux

	PMg	PMg + $\text{LiNO}_3$	Portland	Portland + $\text{LiNO}_3$
Al/Pt/Pt/Pt	CV	CV	CV	CV
Al/Pt/Pt/Pt	EIS	EIS	EIS	EIS

## ■ Pâtes de ciment phospho-magnésien et Portland : diagrammes d'impédance



**Portland avec  $\text{LiNO}_3$ :** impédance caractéristique d'un phénomène de corrosion

**Phospho-magnésien avec  $\text{LiNO}_3$ :** diminution de l'impedance pendant les 4 premiers jours puis augmentation => Il est probable que la couche d'oxyde qui protège initialement Al soit progressivement remplacée par l'aluminate de lithium, plus stable et protecteur

## 5. Conclusion

- Magnesium phosphate cements appear to be the most promising binders (among those tested) for the encapsulation of metallic aluminium
- Corrosion of aluminium can be reduced still further by adding a corrosion inhibitor (lithium nitrate): **Brevet Français**, C.Cau dit Coumes, D.Lambertin, P.Antonucci, M.Charlot, « *Liant et son utilisation pour le conditionnement de déchets contenant de l'aluminium métallique* », N°FR3003252A1
- Critical parameters controlling the cement reactivity :
  - type of MgO (calcination temperature, specific surface area)
  - type of filler used
  - MgO / KH<sub>2</sub>PO<sub>4</sub> ratio
  - L/S ratio
  - type and amount of admixtures
- The electrochemical measurements (determination of the open circuit potential and electrochemical impedance spectroscopy) confirm that aluminum is corroded when it is encapsulated in a Portland cement paste, whereas it tends to a passive state in the magnesium phosphate binder

C. Cau Dit Coumes, D. Lambertin, H. Lahalle, P. Antonucci, C. Cannes, S. Delpech, Selection of a mineral binder with potentialities for the stabilization / solidification of aluminum metal, Journal of Nuclear Materials 453 [1-3] (2014) 31-40

- Analysis of the EIS data by using judicious equivalent electrical circuits to get more information on the aluminum corrosion (mechanism, rate)
- Understanding of the influence of admixtures ( $H_3BO_3$ ,  $LiNO_3$ ) on cement hydration

- Design and characterization of an injection grout in view of blocking massive aluminum pieces



3.3 m<sup>2</sup> d'aluminium métal



- Use of the electrochemical method developed in this project to study the encapsulation of other reactive metals